豫西熊耳山斑竹寺岩体 LA-ICP-MS 锆石 U-Pb 定年及地质意义

梁涛^{1,2)}, 白凤军^{1,2)}, 罗照华³⁾, 卢欣祥⁴⁾, 卢仁^{1,2)}, 徐石头^{1,2)}, 成静亮^{1,2)}

- 1)河南省有色金属地质勘查总院,郑州、450052;
- 2) 河南省有色金属深部找矿勘查技术研究重点实验室,郑州、450052;
- 3) 中国地质大学(北京),北京,100083; 4) 河南省国土资源科学研究院,郑州,450053

关键词: 斑竹寺, 花岗斑岩, 锆石, 熊耳山

豫西熊耳山位于华北克拉通南缘(图 1a),它 是河南省重要的内生金属矿产地之一,主要出露构 造蚀变岩型、石英脉型、爆破角砾岩型、斑岩型等 矿床类型,矿化以Ag及Ag多金属、Au、Mo、Pb为 主(王志光等, 1997; 罗铭玖等, 2000; 卢欣祥等, 2004)。梁涛等(2012)对熊耳山地区矿床(点) 的空间结构(矿床地质学场)进行了分析,发现熊 耳山地区出露的 121 个Ag、Ag-Pb、Au、Mo及Pb 矿床(点)均位于E112°以西,而E112°以东鲜有内 生金属矿化出露。另外一方面,熊耳山内E112°以 东花岗岩的关注度也较低。所以,对熊耳山内E112° 以东花岗岩开展系统研究工作,不仅为河南省东秦 岭构造演化及深部动力学过程提供新的约束,而且 能获得是否存在与之相关的成矿作用及新的成矿 潜力区。本文报道了熊耳山内E112°以东出露面积 最大的岩体——斑竹寺花岗斑岩的LA-ICP-MS锆 石U-Pb定年结果,并对其深部动力学背景及成矿潜 力进行了初步探讨。

熊耳山的结晶基底为太华群深变质岩及混合岩系,其上主要为熊耳群火山岩系和官道口群沉积岩系及新生界,发育近东西向、北东向和北西向三组断裂。熊耳山内岩浆活动频繁且强烈,存在太古代、中元古代和中生代(燕山期)为三次强烈岩浆活动期(河南地质矿产局,1989)。熊耳山燕山期岩浆活动以酸性侵入岩为主,出露面积较大者如花山岩基、五丈山岩体、斑竹寺岩体、金山庙岩体,

规模较小的岩体包括蒿坪沟岩体、巧女寨岩体、沙土凹岩体、雷门沟岩体和祁雨沟岩体等。

斑竹寺岩体群位于熊耳山东段,分布于斑竹寺、西岩山、张旺沟等地,由6个侵入体组成,总面积约37km²(河南省地质调查院,2001)。斑竹寺岩体为其中规模最大者,大致呈三角形,面积约31km²,主体岩性为细粒二长花岗斑岩,局部可见暗色微粒包体,岩体北部位中元古界熊耳群许山组安山岩及鸡蛋坪组流纹斑岩,呈侵入接触关系,岩体南侧为新生界不整合覆盖(图1b)。

斑竹寺 LA-ICP-MS 定年样品 BZS01 采集于岩体北部,岩性为灰红色细粒二长花岗斑岩,从中分选获得的锆石数量大于 1000 粒,大部分无色透明,部分锆石可见裂纹和暗色包裹体。大多数锆石晶型完整,多呈长柱状,锆石长轴粒径以 150μm~250μm为主,短轴粒径以 50μm~100μm 为主,锆石长宽比以 2:1~3:1 之间为主,大多数锆石发育清晰、致密、均匀的韵律震荡环带,为典型岩浆锆石。LA-ICP-MS 锆石定年在北京大学造山带与地壳演化教育部重点实验室完成。

对样品 BZS01 累计进行了 29 个锆石测点的分析,所有测点测定值均位于 ²⁰⁷Pb/²³⁵U-²⁰⁶Pb/²³⁸U 一 致线上,其 ²⁰⁶Pb/²³⁸U 年龄介于 124Ma~138Ma 之间,Th/U 比值介于 0.38~0.82 之间。测点 BZS01-02 的 ²⁰⁶Pb/²³⁸U 年龄为 138±2Ma,其余 28 个测点的加权平均 ²⁰⁶Pb/²³⁸U 年龄为 129±1Ma(95%置信度),MSWD=1.7(图 2)。结合上述样品 BZS01 的锆石CL 图像特征,129±1Ma 可以解释为同岩浆锆石的

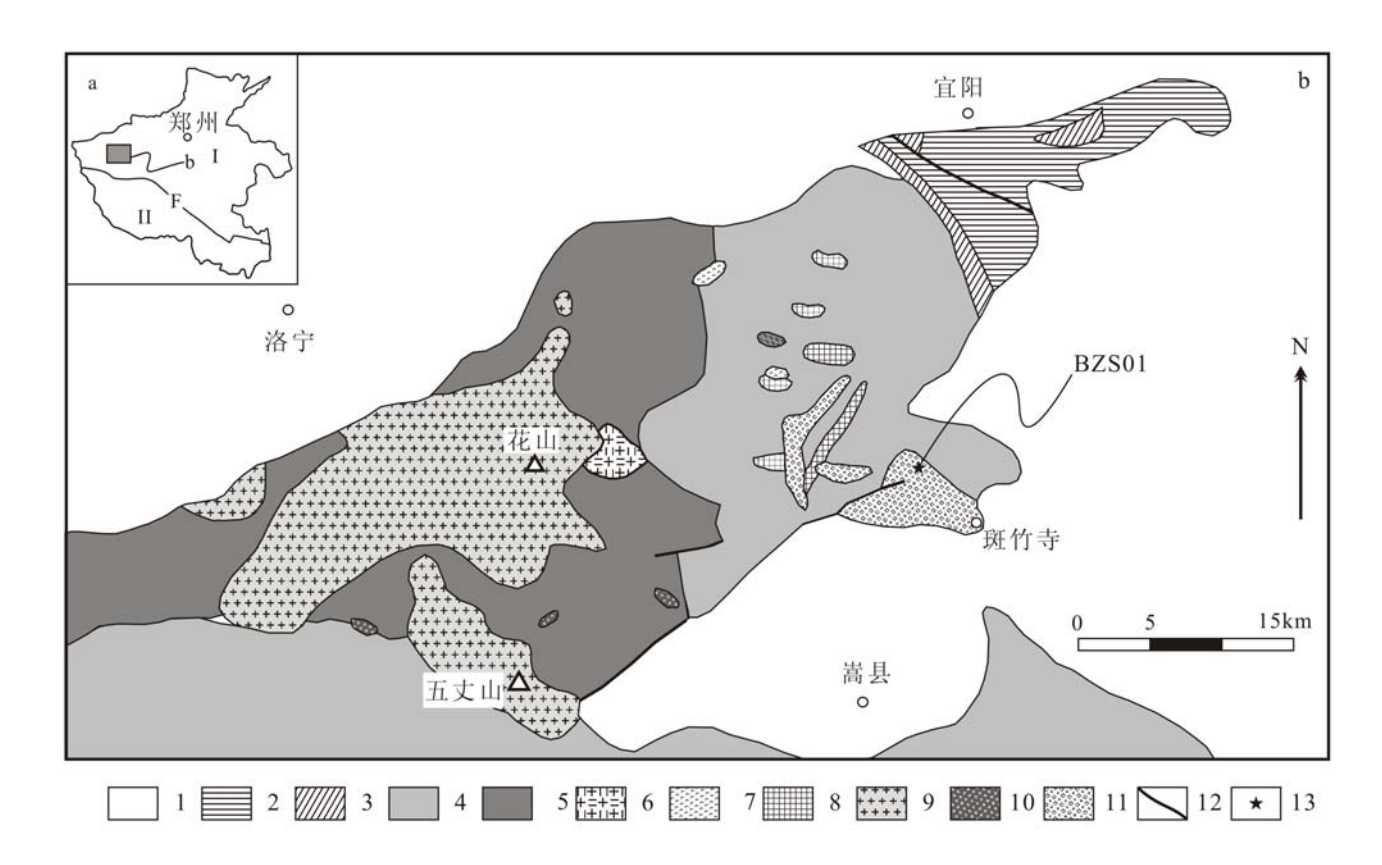


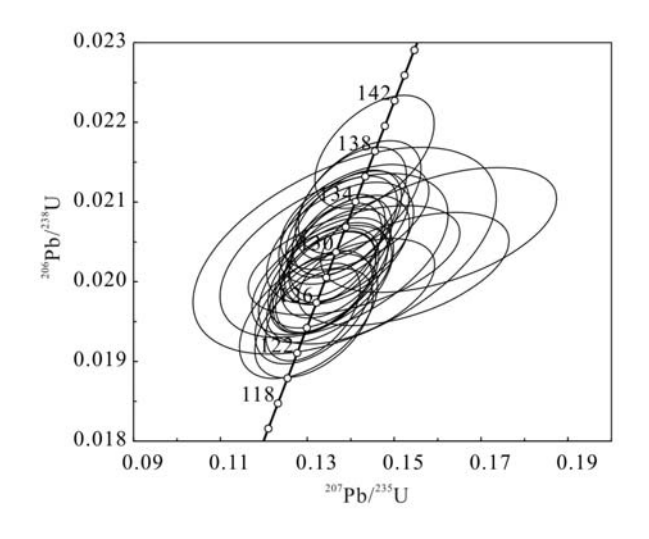
图 1 豫西熊耳山地质简图

a-河南省构造分区简图(据河南省地质矿产局,1989 简化),I-华北克拉通,II-秦岭造山带,F-栾川-确山-固始深大断裂带; b-熊耳山地质简图 (据河南地质矿产局简化,1989),1-新生界,2-古生界-中生界,3-元古界官道口群,4-元古界熊耳群,5-太古界太华群,6-太古代闪长岩,7-元古代辉绿岩,8-元古代石英闪长岩,9-燕山期花岗岩,11-燕山期角砾岩,12-燕山期花岗斑岩,13-斑竹寺岩体 BZS01 采样点

结晶年龄。这与斑竹寺岩体的全岩 K-Ar 同位素年龄值 124Ma(河南省地质调查院,2001)相接近,表明斑竹寺岩体形成于~129Ma,属于早白垩世。

花山岩基为熊耳山地区出露面积最大的燕山期酸性侵入岩,其形成时代获得了广泛的关注,如Mao等(2010)对花山岩基两件样品进行了SHRIMP锆石定年,结果为131±1Ma和131±2Ma;肖娥等(2012)对花山岩基和金山庙岩体进行了了LA-CIP-MS锆石定年,花山岩基两件样品的年代学结果为128.7±1.0Ma和129.3±2.4Ma,金山庙岩体样品的年龄为127.6±1.6Ma;孟芳等(2012)对花山岩基和金山庙岩体的SHRIMP锆石定年结果分别为127.6±1.1Ma和129.3±1.5Ma。由此可见,斑竹寺岩体的LA-CCP-MS锆石年龄129±1Ma与花山岩基和金山庙岩体的形成时代相近。

熊耳山地区还出露一系列与成矿作用密切相 关的小岩体,其成岩成矿时代也与斑竹寺岩体相接 近。祁雨沟 Au 矿 16 号爆破角砾岩下伏花岗斑岩的 LA-ICP-MS 锆石年龄为 136.6±2.3Ma,7 号角砾岩 中辉钼矿 Re-Os 同位素等时线年龄为 135.6±5.6Ma (姚军明等, 2009)。祁雨沟 Au 矿 4 号角砾岩筒 中的黄铁矿的黄 Rb-Sr 等时线年龄 126±11 Ma,为 Au 成矿的主成矿期时代(韩以贵等,2007)。雷门 沟 Mo 矿中斑岩体的 SHRIMP 锆石定年结果为 136.2±1.5Ma, 辉钼矿 Re-Os 同位素的模式年龄介 于 131.6±2.0Ma~133.1±1.9Ma 之间,加权平均年 龄为 132.4±1.9Ma (李永峰等, 2006)。熊耳山西 端龙门店-沙沟 Ag 多金属矿集区内蒿坪沟花岗斑岩 的 SHRIMP 锆石定年结果为 134±1Ma(叶会寿, 2006; Mao 等, 2010), 蒿坪沟 Ag 多金属矿床 H15 矿脉近矿蚀变岩中绢云母的 39Ar/40Ar 坪年龄为 134.9±0.8Ma (叶会寿, 2006), 铁炉坪 Ag 多金属 矿床近矿蚀变岩中绢云母的的 ³⁹Ar/⁴⁰Ar 坪年龄为 134.6±1.2Ma(高建京等, 2011)。



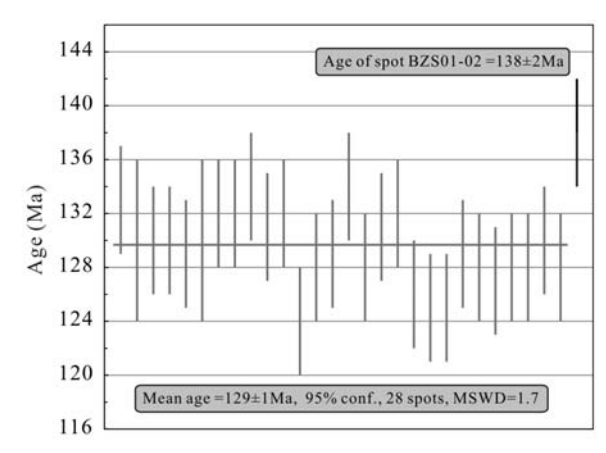


图 2 豫西斑竹寺岩体 LA-ICP-MS 锆石定年结果

综上所述, 斑竹寺岩体的 LA-ICP-MS 锆石定年 结果为 129±1Ma, 形成时代为早白垩世。1 个测点的 ²⁰⁶Pb/²³⁸U 年龄明显偏离了其余测点的 ²⁰⁶Pb/²³⁸U 年龄值的集中区间, 此锆石是斑竹寺花岗岩岩浆经历岩浆混合作用的结果, 与其内暗色微粒包体的形成相吻合。熊耳山内发育一期与斑竹寺岩体近同时的成岩成矿作用, 进而暗示斑竹寺岩体应当具有与之相关的成矿作用。

本文为河南省国土资源厅科技攻关项目(编号2011-622-36和2011-622-25),河南省有色金属地质矿产局科研项目(编号YSDK2012-03和YSDK2011-10)的成果。

参考文献

高建京,毛景文,陈懋弘,叶会寿,张继军,李永峰. 2011. 豫西铁炉坪银铅矿床矿脉构造解析及近矿蚀变岩绢云母 ⁴⁰Ar-³⁹Ar 年龄测定.地质学报[J], 85(7): 1172-1187.

韩以贵, 李向辉, 张世红, 张元厚, 陈福坤. 2007. 豫西祁雨沟金矿单颗粒和碎裂状黄铁矿 Rb-Sr 等时线定年[J]. 科学通报, 52(11): 1307-1311.

河南地质矿产局. 1989. 河南省区域地质志[M]. 北京: 地质出版社, 1-772.

河南省地质调查院. 2001. 河南省田湖幅 1:5 万区域地质调查报告[R]. 河南郑州: 河南省国土资源厅, 1-41.

李永峰,毛景文,刘敦一,王彦斌,王志良,王义天,李晓峰,张作衡, 郭保健. 2006. 豫西雷门沟斑岩钼矿 SHRIMP 锆石 U-Pb 和辉钼矿 Re-Os 测年及其地质意义[J]. 地质论评, 52(1): 122-128.

梁涛, 卢仁, 白凤军, 张晓永, 陈丽娟, 成静亮, 王明国. 2012. 豫西熊耳山 Ag、Ag-Pb、Au、Mo 及 Pb 矿床 (点)的空间分布特征及找矿启示[J].矿床地质, 31(3): 590~600.

卢欣祥, 尉向东, 董有, 于在平, 常秋玲, 张冠山, 刘树林, 叶安旺, 索天元, 晋建平. 2004. 小秦岭-熊耳山地区金矿特征与地幔流体[M]. 北京: 地质出版社, 1-128.

罗铭玖, 黎世美, 卢欣祥, 郑德琼, 苏振邦. 2000. 河南省主要矿产的成矿作用及矿床成矿系列[M]. 北京: 地质出版社, 1-125.

孟芳, 叶会寿, 高亚龙. 2012. 豫西熊耳山地区花岗岩地质特征及 SHRIMP 锆石 U-Pb 年龄[J]. 矿床地质, 31(增刊): 591-592.

王志光, 崔亳, 徐梦罗, 郑尚模, 王富贵, 吕夏, 张林, 程广国. 1997. 华 北地台南缘地质构造与演化[M]. 北京: 冶金工业出版社, 1-311.

肖娥, 胡建, 张遵忠, 戴宝章, 王艳芬, 李海勇. 2012. 东秦岭花山复式 岩基中蒿坪与金山庙花岗岩体岩石地球化学、锆石 U-Pb 年代学和 Lu-Hf 同位素组成[J]. 岩石学报, 28(12): 4031-4076.

姚军明, 赵太平, 李晶, 孙亚莉, 原振雷, 陈伟, 韩军. 2009. 河南祁雨沟金成矿系统辉钼矿 Re-Os 年龄和锆石 U-Pb 年龄及 Hf 同位素地球化学[J]. 岩石学报, 25(2): 374-384.

叶会寿. 2006. 华北陆块南缘中生代构造演化与铅锌银成矿作用[D]. 北京: 中国地质科学院: 1-225.

Mao J W, Xie G Q, Pirajno F, Ye H S, Wang Y T, Li Y F, Xiang J F, Zhao H J. 2010. Late Jurassic-Cretaceous granitoid magmatism in the eastern Qinling, Central-eastern China: SHRIMP zircon U-Pb ages and tectonic implications[J]. Australian Journal of Earth Science, 57: 51-78.